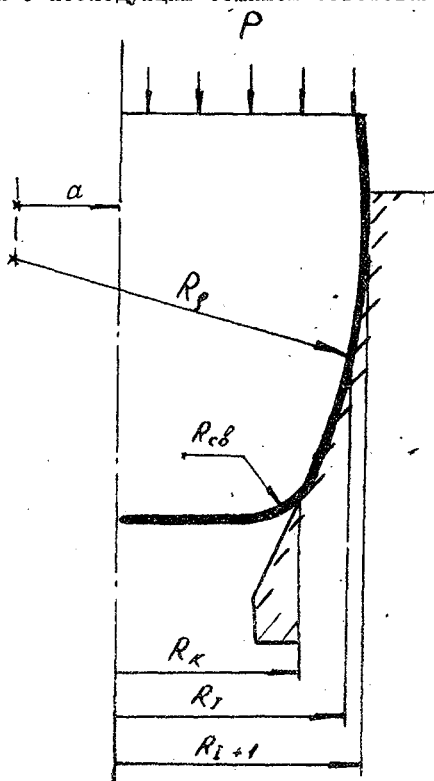


К АНАЛИЗУ ПРОДОЛЬНОГО ОБЖИМА ПОЛОЙ ЦИЛИНДРИЧЕСКОЙ ЗАГОТОВКИ С ДНОМ*

Одним из основных требований, предъявляемых к листовым деталям конструкций летательных аппаратов, является жесткое ограничение их веса, а следовательно и разнотолщинности. Снизить разнотолщинность сужающихся осесимметричных штампованных оболочек и интенсифицировать процесс их формообразования позволяет последовательное совмещение технологических операций вытяжки заготовки с последующим обжимом заготовки [1], [2].



Р и с. 1. Схема продольного обжима заготовки

В статье приведена методика определения напряженно-деформированного состояния при обжиме цилиндрической заготовки в матрице с криволинейной образующей (рис. 1) с учетом основных факторов, влияющих на процесс пластического деформирования (упрочнения материала, контактного трения, изменения толщины стенки).

В методике используются общепринятые при анализе операций листовой штамповки допущения, а именно: рассматривается плоское напряженное состояние, применяется безмоментная теория оболочек, σ_p , σ_q — главные нормальные напряжения, равномерно распределенные по толщине, материал заготов-

* Работа выполнена под руководством доц. В.П.Чистякова

ки изотропен и подчиняется условию пластичности Губера - Мизеса.

Напряжения и деформации в различных точках заготовки можно определить на основе теории пластичности с применением известной кривой упрочнения материала.

По условию пластичности Губера-Мизеса напряжение текучести

$$[3] \quad \bar{\sigma} = \left[\frac{1}{2} \left\{ (\sigma_p - \sigma_\theta)^2 + (\sigma_\theta - \sigma_s)^2 + (\sigma_s - \sigma_p)^2 \right\} \right]^{\frac{1}{2}}, \quad (1)$$

где $\bar{\sigma}$ - интенсивность напряжений;
 $\sigma_p, \sigma_\theta, \sigma_s$ - главные нормальные напряжения.

Это напряжение зависит от деформационного упрочнения материала и связано с эквивалентной деформацией

$$\bar{\epsilon} = \int d\bar{\epsilon}. \quad (2)$$

Приращение эквивалентной деформации с учетом условия постоянства объема

$$d\epsilon_\theta + d\epsilon_p + d\epsilon_s = 0, \quad (3)$$

где $d\epsilon_\theta, d\epsilon_p, d\epsilon_s$ - приращение главных деформаций, определяются по формуле

$$d\bar{\epsilon} = \left[\frac{4}{3} (d\epsilon_\theta^2 + d\epsilon_s^2 + d\epsilon_\theta d\epsilon_s) \right]^{\frac{1}{2}}. \quad (4)$$

Для плоского напряженного состояния, используя зависимость Лева-Лоде [3], получаем:

$$\sigma_p = \frac{2}{3} \frac{\bar{\sigma}}{d\bar{\epsilon}} (-d\epsilon_\theta - 2d\epsilon_p); \quad (5)$$

$$\sigma_\theta = \frac{2}{3} \frac{\bar{\sigma}}{d\bar{\epsilon}} (d\epsilon_\theta - d\epsilon_s). \quad (6)$$

Функция, аппроксимирующая упрочнения материала заготовки, задается в виде

$$\bar{\sigma} = \bar{\sigma}_0 + A \bar{\epsilon}^n, \quad (7)$$

где $\bar{\sigma}_0$ - исходный предел текучести материала;

A и n - константы упрочнения материала.

Приращение главных деформаций определяется через размеры заготовки:

$$d\varepsilon_\theta = \ln \frac{z}{z_0}; \quad (8)$$

$$d\varepsilon_s = \ln \frac{S}{S_0}; \quad (9)$$

$$d\varepsilon_p = \ln \frac{dz}{dz_0} \frac{\sin \alpha_0}{\sin \alpha}. \quad (10)$$

Здесь α - угол между образующей к рассматриваемому элементу и осью симметрии.

Из геометрических соотношений

$$R_p = (a+z) \cos \alpha. \quad (11)$$

Уравнение равновесия безмоментной оболочки на участке контакта с матрицей имеет вид.

$$\frac{d}{dz} (\sigma_p z S) - \sigma_\theta S + \frac{\mu z S}{\sin \alpha} \left(\frac{\sigma_p}{R_p} + \frac{\sigma_\theta}{R_\theta} \right) = 0, \quad (12)$$

где μ - коэффициент контактного трения;

R_p и R_θ - радиусы кривизны оболочки.

При продольном обжиме заготовки с дном очаг деформации имеет неустановившиеся, изменяющиеся размеры. В процессе формоизменения в него последовательно вливаются новые недеформированные элементы дна и цилиндрической стенки заготовки. Кроме того, из-за сложностей, возникающих при попытке учесть все факторы, влияющие на процесс формоизменения, нелинейный закон упрочнения, предисторию деформации, граничное трение, непостоянство толщины и распределения деформации после вытяжки, а также изменение граничных условий в процессе формоизменения, невозможно получить законченное аналитическое решение. Поставленную задачу целесообразно решать численным методом с привлечением ЭВМ.

К неизвестным искомым величинам для участка оболочки, контактирующей с матрицей, относятся:

$$\varepsilon_p, \varepsilon_\theta, \varepsilon_s, \bar{\varepsilon}, \sigma_p, \sigma_\theta, \bar{\sigma}, z, \alpha, \rho, S.$$

Определение поля напряжения и деформаций в деформируемой заготовке сводится к решению системы (2) - (12), состоящей из нелинейных алгебраических и дифференциальных уравнений. Решается система численным методом, искомые величины определяются в конце

ном числе точек. Заготовка разбивается на l колец, причем число колец выбирается достаточным, чтобы считать толщину рассматриваемого кольца постоянной. Искомые величины внутри кольца также считаются постоянными.

Дифференциальное уравнение равновесия (12) интегрируется численно с применением метода трапеций:

$$(\sigma_{\rho} S z)_{i+1} - (\sigma_{\rho} S z)_i = \frac{1}{2} \left\{ (z_{i+1} - z_i) * \left[\left(\sigma_{\theta} S - \frac{\mu \rho z}{\sin \alpha} \right)_{i+1} + \left(\sigma_{\theta} S - \frac{\mu \rho z}{\sin \alpha} \right)_i \right] \right\},$$

где $\rho = S \left(\frac{\sigma_{\rho}}{R_{\rho}} + \frac{\sigma_{\theta}}{R_{\theta}} \right)$.

Таким образом, для каждой точки заготовки получена замкнутая система нелинейных алгебраических уравнений.

Процесс формоизменения разбивается на стадии, внутри которых нагружение считается простым.

Напряжения и деформации рассчитываются от стадии к стадии, от точки к точке, начиная в каждой стадии с границы контакта дна заготовки с поверхностью матрицы. Граничные условия устанавливаются следующим образом: пластическая деформация оболочек начинается при достижении тангенциального напряжения сжатия предела текучести материала $\sigma_{\theta} = \sigma_s$.

Наличие плоского дна у обжимаемой заготовки учитывается путем увеличения радиального напряжения, которое вызвано изгибом и последующим спрямлением дна заготовки в процессе обжима. Это приращение определяется по методике, предложенной Е.А. Поповым [4]:

$$\Delta \sigma_{\rho} = 2 \frac{\sigma_s S}{4 R_{c\theta}}$$

где $R_{c\theta}$ - радиус свободного изгиба.

Применительно к данному случаю

$$R_{c\theta} = \frac{\sqrt{R_k S}}{\sin \alpha}.$$

Каждой стадии нагружения ставится в соответствии определенная величина радиуса границы контакта дна заготовки с матрицей.

Поскольку прирост деформации по стадиям ограничен, то для текущей стадии

$$\Delta \varepsilon_{\theta j} = \varepsilon_{\theta j} - \varepsilon_{\theta j-1} ;$$

$$\Delta \varepsilon_{s j} = \varepsilon_{s j} - \varepsilon_{s j-1} ,$$

а следовательно и

$$\Delta \bar{\varepsilon}_j = \bar{\varepsilon}_j - \bar{\varepsilon}_{j-1} .$$

Эквивалентная деформация $\bar{\varepsilon}_j$ на данной стадии равна

$$\bar{\varepsilon}_j = \sum \Delta \bar{\varepsilon} .$$

Напряженно-деформированное состояние в точке заготовки определяется при решении системы уравнений (1) - (2) методом последовательных приближений.

Условием того, что поле напряжений и деформаций определено с требуемой точностью, является выполнение неравенства

$$\frac{(\sigma_p s)_i^K - (\sigma_p s)_i^{K-1}}{(\sigma_p s)_i^{K-1}} \ll \Delta ,$$

где индексы K и $K-1$ означают соответственно K -е и $K-1$ -е приближение; Δ - параметр, определяющий точность расчета.

Для реализации численного метода определения напряженно-деформированного состояния разработана программа на языке ALGOL для машины М 222. Блок схема этой программы приведена на рис. 2.

Предварительный расчет толщины конических оболочек, полученных по данной методике, удовлетворительно согласуются с экспериментальными данными (погрешность составляет 10%).

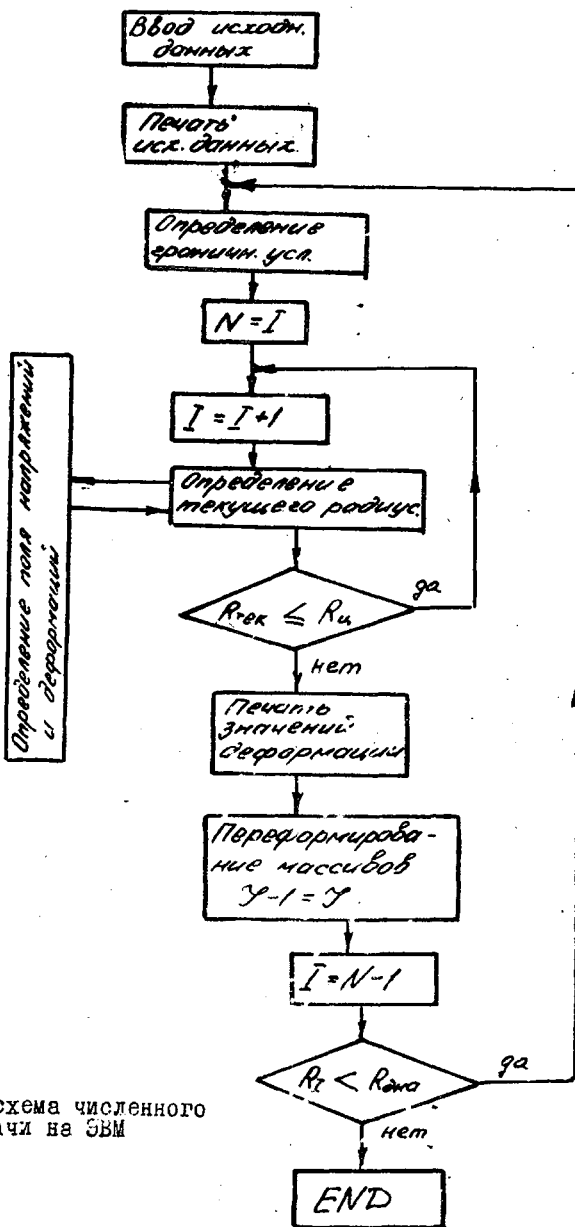
Л и т е р а т у р а

1. О в ч и н н и к о в А.Г., Ч и с т я к о в В.П., П о п о в И.П., Штамповка полусфер без утонения стенки. Об.: "Машины и технология ОМД". Труды МВТУ им. Н.Э.Баумана, № 229, 1976.

2. М е л ь н и к о в Э.Л. "Холодная штамповка. М., "Машиностроение", 1976.

3. Х и л л Р. Математическая теория пластичности. ГИИТЛ, 1956.

4. П о п о в Е.А. Основы теории листовой штамповки. М., "Машиностроение", 1977.



Р и с. 2. Блок-схема численного решения задачи на ЭВМ